

Starkniederschlagshöhen und -spenden gemäß KOSTRA-DWD-2020

Rasterfeld 193149

(Zeile 193, Spalte 149)

Regenspende und Bemessungsniederschlagswerte in Abhängigkeit von Wiederkehrzeit T und Dauerstufe D

| Dauerstufe D | | Wiederkehrzeit T | | | | | | | | | | | | | | | | | |
|--------------|-----|------------------|------------|------|------------|------|------------|------|------------|------|------------|-------|------------|-------|------------|-------|------------|-------|------------|
| | | 1 a | | 2 a | | 3 a | | 5 a | | 10 a | | 20 a | | 30 a | | 50 a | | 100 a | |
| min | Std | mm | l / (s ha) | mm | l / (s ha) | mm | l / (s ha) | mm | l / (s ha) | mm | l / (s ha) | mm | l / (s ha) | mm | l / (s ha) | mm | l / (s ha) | mm | l / (s ha) |
| 5 | | 7,9 | 263,3 | 9,6 | 320,0 | 10,6 | 353,3 | 12,0 | 400,0 | 13,9 | 463,3 | 16,0 | 533,3 | 17,3 | 576,7 | 19,0 | 633,3 | 21,5 | 716,7 |
| 10 | | 10,3 | 171,7 | 12,5 | 208,3 | 13,8 | 230,0 | 15,6 | 260,0 | 18,2 | 303,3 | 20,8 | 346,7 | 22,5 | 375,0 | 24,8 | 413,3 | 28,0 | 466,7 |
| 15 | | 11,7 | 130,0 | 14,2 | 157,8 | 15,8 | 175,6 | 17,8 | 197,8 | 20,7 | 230,0 | 23,7 | 263,3 | 25,7 | 285,6 | 28,2 | 313,3 | 31,9 | 354,4 |
| 20 | | 12,8 | 106,7 | 15,5 | 129,2 | 17,2 | 143,3 | 19,4 | 161,7 | 22,5 | 187,5 | 25,8 | 215,0 | 27,9 | 232,5 | 30,7 | 255,8 | 34,7 | 289,2 |
| 30 | | 14,3 | 79,4 | 17,3 | 96,1 | 19,2 | 106,7 | 21,6 | 120,0 | 25,1 | 139,4 | 28,8 | 160,0 | 31,2 | 173,3 | 34,3 | 190,6 | 38,8 | 215,6 |
| 45 | | 15,8 | 58,5 | 19,2 | 71,1 | 21,2 | 78,5 | 24,0 | 88,9 | 27,9 | 103,3 | 31,9 | 118,1 | 34,6 | 128,1 | 38,0 | 140,7 | 43,0 | 159,3 |
| 60 | 1 | 17,0 | 47,2 | 20,6 | 57,2 | 22,8 | 63,3 | 25,7 | 71,4 | 29,9 | 83,1 | 34,3 | 95,3 | 37,1 | 103,1 | 40,8 | 113,3 | 46,1 | 128,1 |
| 90 | 1,5 | 18,7 | 34,6 | 22,6 | 41,9 | 25,1 | 46,5 | 28,3 | 52,4 | 32,9 | 60,9 | 37,7 | 69,8 | 40,8 | 75,6 | 44,9 | 83,1 | 50,8 | 94,1 |
| 120 | 2 | 20,0 | 27,8 | 24,2 | 33,6 | 26,8 | 37,2 | 30,2 | 41,9 | 35,2 | 48,9 | 40,3 | 56,0 | 43,6 | 60,6 | 48,0 | 66,7 | 54,3 | 75,4 |
| 180 | 3 | 21,9 | 20,3 | 26,5 | 24,5 | 29,4 | 27,2 | 33,1 | 30,6 | 38,6 | 35,7 | 44,1 | 40,8 | 47,8 | 44,3 | 52,6 | 48,7 | 59,5 | 55,1 |
| 240 | 4 | 23,3 | 16,2 | 28,3 | 19,7 | 31,3 | 21,7 | 35,3 | 24,5 | 41,1 | 28,5 | 47,1 | 32,7 | 51,0 | 35,4 | 56,1 | 39,0 | 63,4 | 44,0 |
| 360 | 6 | 25,5 | 11,8 | 30,9 | 14,3 | 34,3 | 15,9 | 38,7 | 17,9 | 45,0 | 20,8 | 51,5 | 23,8 | 55,8 | 25,8 | 61,4 | 28,4 | 69,4 | 32,1 |
| 540 | 9 | 27,9 | 8,6 | 33,8 | 10,4 | 37,5 | 11,6 | 42,3 | 13,1 | 49,2 | 15,2 | 56,3 | 17,4 | 61,0 | 18,8 | 67,1 | 20,7 | 75,9 | 23,4 |
| 720 | 12 | 29,7 | 6,9 | 36,0 | 8,3 | 39,9 | 9,2 | 45,0 | 10,4 | 52,4 | 12,1 | 60,0 | 13,9 | 64,9 | 15,0 | 71,5 | 16,6 | 80,8 | 18,7 |
| 1080 | 18 | 32,5 | 5,0 | 39,3 | 6,1 | 43,6 | 6,7 | 49,2 | 7,6 | 57,2 | 8,8 | 65,5 | 10,1 | 70,9 | 10,9 | 78,1 | 12,1 | 88,3 | 13,6 |
| 1440 | 24 | 34,6 | 4,0 | 41,9 | 4,8 | 46,4 | 5,4 | 52,4 | 6,1 | 60,9 | 7,0 | 69,7 | 8,1 | 75,5 | 8,7 | 83,1 | 9,6 | 94,0 | 10,9 |
| 2880 | 48 | 40,2 | 2,3 | 48,7 | 2,8 | 53,9 | 3,1 | 60,9 | 3,5 | 70,8 | 4,1 | 81,1 | 4,7 | 87,8 | 5,1 | 96,6 | 5,6 | 109,2 | 6,3 |
| 4320 | 72 | 43,9 | 1,7 | 53,2 | 2,1 | 58,9 | 2,3 | 66,5 | 2,6 | 77,3 | 3,0 | 88,5 | 3,4 | 95,9 | 3,7 | 105,5 | 4,1 | 119,3 | 4,6 |
| 5760 | 96 | 46,7 | 1,4 | 56,6 | 1,6 | 62,7 | 1,8 | 70,7 | 2,0 | 82,3 | 2,4 | 94,2 | 2,7 | 102,0 | 3,0 | 112,3 | 3,2 | 126,9 | 3,7 |
| 7200 | 120 | 49,0 | 1,1 | 59,4 | 1,4 | 65,8 | 1,5 | 74,2 | 1,7 | 86,4 | 2,0 | 98,9 | 2,3 | 107,1 | 2,5 | 117,8 | 2,7 | 133,2 | 3,1 |
| 8640 | 144 | 51,0 | 1,0 | 61,8 | 1,2 | 68,5 | 1,3 | 77,2 | 1,5 | 89,9 | 1,7 | 102,9 | 2,0 | 111,4 | 2,1 | 122,6 | 2,4 | 138,6 | 2,7 |
| 10080 | 168 | 52,7 | 0,9 | 63,9 | 1,1 | 70,8 | 1,2 | 79,8 | 1,3 | 92,9 | 1,5 | 106,4 | 1,8 | 115,2 | 1,9 | 126,7 | 2,1 | 143,3 | 2,4 |

Starkniederschlagshöhen und -spenden gemäß KOSTRA-DWD-2020

Rasterfeld 193149

(Zeile 193, Spalte 149)

Örtliche Unsicherheiten in Abhängigkeit von Wiederkehrzeit T und Dauerstufe D

| Dauerstufe D | | Wiederkehrzeit T | | | | | | | | |
|--------------|-----|------------------|-----|-----|-----|------|------|------|------|-------|
| | | 1 a | 2 a | 3 a | 5 a | 10 a | 20 a | 30 a | 50 a | 100 a |
| min | Std | ± % | ± % | ± % | ± % | ± % | ± % | ± % | ± % | ± % |
| 5 | | 15 | 15 | 16 | 16 | 17 | 17 | 17 | 18 | 18 |
| 10 | | 18 | 19 | 20 | 20 | 21 | 22 | 22 | 22 | 22 |
| 15 | | 20 | 21 | 22 | 22 | 23 | 24 | 24 | 24 | 25 |
| 20 | | 21 | 22 | 23 | 23 | 24 | 25 | 25 | 25 | 26 |
| 30 | | 21 | 23 | 23 | 24 | 25 | 26 | 26 | 26 | 27 |
| 45 | | 21 | 23 | 23 | 24 | 25 | 26 | 26 | 26 | 27 |
| 60 | 1 | 21 | 23 | 23 | 24 | 25 | 25 | 26 | 26 | 27 |
| 90 | 1,5 | 20 | 22 | 23 | 23 | 24 | 25 | 25 | 26 | 26 |
| 120 | 2 | 20 | 21 | 22 | 23 | 23 | 24 | 24 | 25 | 25 |
| 180 | 3 | 19 | 20 | 21 | 22 | 22 | 23 | 23 | 24 | 24 |
| 240 | 4 | 18 | 19 | 20 | 21 | 22 | 22 | 23 | 23 | 23 |
| 360 | 6 | 17 | 18 | 19 | 20 | 20 | 21 | 21 | 22 | 22 |
| 540 | 9 | 16 | 17 | 18 | 19 | 19 | 20 | 20 | 21 | 21 |
| 720 | 12 | 16 | 17 | 17 | 18 | 19 | 19 | 20 | 20 | 21 |
| 1080 | 18 | 15 | 16 | 17 | 17 | 18 | 19 | 19 | 19 | 20 |
| 1440 | 24 | 15 | 16 | 16 | 17 | 18 | 18 | 18 | 19 | 19 |
| 2880 | 48 | 16 | 16 | 16 | 16 | 17 | 17 | 18 | 18 | 18 |
| 4320 | 72 | 16 | 16 | 16 | 17 | 17 | 17 | 18 | 18 | 18 |
| 5760 | 96 | 17 | 17 | 17 | 17 | 17 | 18 | 18 | 18 | 18 |
| 7200 | 120 | 17 | 17 | 17 | 17 | 18 | 18 | 18 | 18 | 18 |
| 8640 | 144 | 18 | 18 | 18 | 18 | 18 | 18 | 18 | 18 | 19 |
| 10080 | 168 | 18 | 18 | 18 | 18 | 18 | 18 | 18 | 19 | 19 |

Parameter für abweichende T und D

Lokationsparameter ξ (Xi)

17,40535288

Skalenparameter α (Alpha)

5,11316705

Formparameter κ (Kappa)

-0,1

1. Koutsoyiannis-Parameter θ (Theta)

0,0313596

2. Koutsoyiannis-Parameter η (Eta)

0,7835178

Parameter für dauerstufenübergreifende Extremwertschätzung nach KOUTSOYIANNIS et al. 1998.

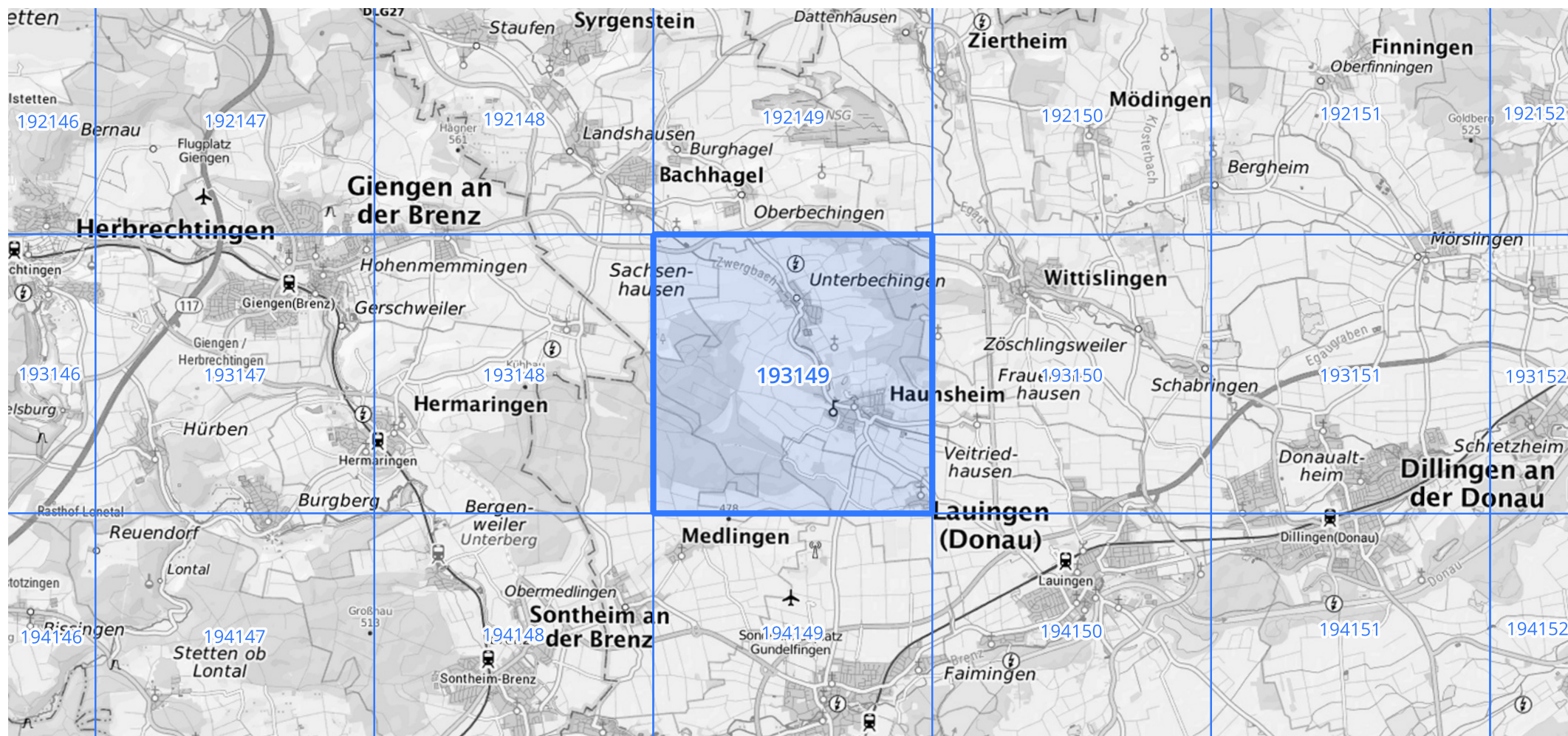
Siehe auch Anwendungshilfe zu KOSTRA-DWD-2020 des Deutschen Wetterdienstes.

Starkniederschlagshöhen und -spenden gemäß KOSTRA-DWD-2020

Rasterfeld 193149

(Zeile 193, Spalte 149)

Übersichtskarte des Rasterfeldes 193149, M 1 : 100 000



Quelle Rasterdaten: KOSTRA-DWD-2020 des Deutschen Wetterdienstes, Stand 12/2022.

Seite 3 von 3

Kartendarstellung: © Bundesamt für Kartographie und Geodäsie (2023), Datenquellen: https://sgx.geodatenzentrum.de/web_public/gdz/datenquellen/Datenquellen_TopPlusOpen.html

Für die Richtigkeit und Aktualität der Angaben wird keine Gewähr übernommen. Erstellt 01/2023.